

ژئوشیمی و محیط زمین ساختی گابروهای باختر آوج،

شمال باختر ایران

نوشته: علی کنانیان*، ام البنین مشهدی هاشمی*، عباس آسیابانها** و دکتر داریوش اسماعیلی*

Geochemistry and Tectonic Setting of Western Avaj Gabbros, Northwest of Iran

By: A. Kananian*, O. Mashhadi-Hashemi*, A. Asiabanhha** & Dr. D. Esmaeili*

چکیده

توده‌های نفوذی باختر آوج واقع در زیر زون رزن با ترکیب عمدۀ گابرویی، به صورت توده‌های کوچک و کشیده در داخل سنگهای دگرگونی ناحیه‌ای درجه ضعیف مزوژوییک تزریق شده‌اند. بخش‌های حاشیه‌ای توده‌ها تحت تأثیر دگرشکلی هم‌زمان با تزریق توده، حالت میلونیتی پیدا کرده‌اند. روند تزریق توده‌ها و سوگیری میلونیتها، تقریباً مشابه با روند دگرگونیهای میزان، یعنی NW-SE است. در پی تزریق توده‌ها، هاله دگرگونی همبری با گسترش محدود در سنگهای میزان به وجود آمده است. بررسیهای سنگنگاری و ژئوشیمیابی حاکی از وجود ارتباط سنگ‌شناختی بین رخمنوهای متعدد گابرویی در منطقه است. نمودارهای ژئوشیمیابی و نمودارهای عنکبوتی نشانگر اهمیت بیشتر نقش تفریق بلوری در تحول توده‌های گابرویی باختر آوج نسبت به فرایندهای ذوب بخشی و آسودگی است. محیط زمین ساختی تشکیل گابروها بر اساس الگوی پراکندگی عناصر جزیی بروی نمودارهای عنکبوتی، یک رژیم کشنی بوده است. به نظر می‌رسد گابروهای مورد مطالعه احتمالاً در اثر ذوب بخشی گوشه‌ی سنگ کره‌ای غنی شده (EM) در ژرفای حدود ۵۰ تا ۶۰ کیلومتری تشکیل شده باشند.

کلید واژه‌ها: گابرو، میلونیت، تکتونیک کشنی، ژئوشیمی، آوج.

Abstract

The western Avaj intrusive bodies, composed mainly of gabbroic rocks, have intruded into low grade regional metamorphic rocks of Razan Subzone and formed small and elongated plutons. The gabbroic rocks in the marginal part of intrusions deformed during emplacement and show mylonitic texture. The foliation in the marginal mylonitic gabbro is parallel to the foliation of host metamorphic rocks with NW-SE direction. A narrow low grade metamorphic aureole was formed around these intrusions. Petrologic relationships and the origin of the different intrusive outcrops are demonstrated by petrography and geochemical studies. Geochemical signatures on spider diagram indicate that the role of fractional crystallization on the magma evolution was more important than the contamination or partial melting. Trace element pattern on the spider diagrams suggests an extensional regime for tectonic setting of the gabbroic rocks. Seemingly, these rocks were possibly generated by partial melting of an enriched lithospheric mantle source (EM) in depth of about 50 to 60 kilometers.

Key words: gabbro, mylonite, extensional tectonic, geochemistry, Avaj.

مقدمه

شهرستان آوج در انتهای جنوب باختری استان قزوین قرار دارد. توده‌های نفوذی مورد مطالعه در باختر شهرستان آوج، بین عرضهای جغرافیایی $32^{\circ} 32'$ تا $38^{\circ} 35'$ شمالی و طولهای جغرافیایی $49^{\circ} 49'$ تا $50^{\circ} 12'$ خاوری قرار گرفته‌اند. وسعت تقریبی محدوده مورد مطالعه، ۲۰۰ کیلومتر مربع است. مناسب‌ترین مسیر برای راهیابی به منطقه، جاده‌های فرعی

تورق خود را از دست داده و هورنفلسی شده‌اند. بخش حاشیه‌ای توده‌های گابرویی، به علت انجاماد سریع مانگما، بافتی پورفیری و ریزدانه نشان می‌دهد. حضور حاشیه انجاماد سریع در اطراف گابروها نشانه عق کم جایگزینی توده است و احتمالاً این مسئله به همراه کم آب بودن مانگما، که از ویژگی مانگماهای بازی به شمار می‌آید و با عدم تشکیل کانیهای آبدار مانند آمفیبول در آنها تعابق دارد، باعث گسترش محدود هاله دگرگونی در این منطقه شده است. رخمنوهای مختلف توده‌های موردنظر در تمامی بخش‌های منطقه از لحاظ بان্ধی و ترکیب کانی‌شناسی مشابه بوده و تنها تفاوت رخمنوهای مربوط به حضور بخش حاشیه انجاماد سریع در اطراف گابروهای آنکلاوهایی از حاشیه انجاماد سریع با ترکیب عمدۀ دولریتی، حاشیه‌های گرد شده و اندازه‌های تقریبی ۱۰ - ۵ سانتی‌متر در گابروها مشاهده می‌شود که در حین انجاماد توده از دیواره‌ها جدا و در محفظه مانگماهای سقوط کرده‌اند. همچنین در مناطق مختلف، دایکهایی از جنس دولریت با بافت معمول پورفیری و دولریتی در گابروها تزریق شده‌اند.

۳- سنگ‌نگاری

از بخش‌های مختلف توده‌های نفوذی باختر آوج، مجموعاً ۸۸ مقطع میکروسکوپی از گابروها، حاشیه انجاماد سریع، آنکلاوهای دانه ریز و زونهای میلونیتی موجود در گابروها مطالعه شده که نتایج این بررسیها در ذیل شرح داده می‌شود:

۱- گابروها

سنگ‌های گابرویی در نمونه دستی ظاهری تیره رنگ (خاکستری) و دانه متوسط داشته و بلورهای سیاه رنگ پیروکسن و تیغه‌های سفید فلدسپار در آنها قابل تشخیص است. کانیهای اصلی مقاطع گابرویی شامل پلازیوکلاز و کلینوپیروکسن است. پلازیوکلازها با فراوانی ۵۰ تا ۸۰ درصد، عمدۀ ترین کانی گابروها هستند. بلورهای ریز تا درشت پلازیوکلاز با دو قلویی پلی‌ستیتیک به صورت خودریخت تا نیمه خودریخت بوده و به‌ندرت زون‌بندی نشان می‌دهند (تصویر^۳).

عدم وجود زون‌بندی و یکنواخت شدن ترکیب پلازیوکلازها در حین تبلور، مستلزم تعادل بلور با مانگما و جایگزینی Na به جای Ca و هم‌چنین Si به جای Al برای حفظ توازن بین کاتیونها است. به عبارت دیگر زون‌بندی، نشانگر آهسته‌تر بودن سرعت ایجاد تعادل نسبت به سرعت تبلور است (Shelly, 1993). بنابراین نادر بودن زون‌بندی در پلازیوکلازهای مقاطع گابرویی، نشانگر "توقف نسبتاً" دراز مدت بلورها در مذاب و ایجاد تعادل بین مانگما و بلور پیش از جایگزینی توده است. بلورهای درشت پلازیوکلاز گاه در اثر تحمل دگر‌شکلی ساب سولیدوس

و سیع تر بخشی از زون سندج- سیرجان به شمار می‌آیند (Bolourchi, 1979). نفوذیهای مورد نظر، اساساً ترکیب بازی داشته و به صورت چند توده کوچک و کشیده در سنگ‌های دگرگونی ناحیه‌ای درجه ضعیف زیر زون شامل اسلیت و فیلیت تزریق شده‌اند. از آنجا که مطالعه چگونگی تشکیل این توده‌ها روشنگر بخشی از سرگذشت زمین‌شناسی منطقه است، لذا در این مقاله تلاش شده تا با استفاده از نتایج مطالعات صحرایی، سنگ‌نگاری ۸۸ مقطع میکروسکوپی و تحلیل نتایج تجزیه شیمیایی ۱۲ نمونه از این توده‌ها و دو نمونه از سنگ‌های آتش‌نشانی منطقه که به روش ICP در آزمایشگاه ژئوشیمی Als-chemex آنکادا و آزمایشگاه XRF سازمان زمین‌شناسی کشور تجزیه شده‌اند، به بررسی ویژگیهای سنگ‌نگاری و ژئوشیمی سنگ‌های نفوذی، ارتباط توده‌ها با یکدیگر و بررسی منشأ آنها پردازیم.

۲- موقعیت زمین‌شناسی ناحیه آوج

ناحیه آوج از لحاظ تقسیم‌بندی جغرافیایی در انتهای جنوب باختری استان قزوین واقع شده و از نظر تقسیم‌بندی زمین‌شناسی، در حد فاصل زونهای ایران مرکزی (در بخش شمالی) و سندج- سیرجان (در بخش جنوبی) قرار گرفته است. این ناحیه براساس تقسیم‌بندی بلورچی (Bolourchi, 1979) از زیر زونهای آبگرم (بخشی از ایران مرکزی) و زرن (بخشی از سندج- سیرجان) تشکیل شده است و گسل آوج با روند شمال باختر- جنوب خاور جدا کننده این دو زیر زون از یکدیگر است. براساس مشاهدات صحرایی توده‌های نفوذی مورد مطالعه با ترکیب عمدۀ گابرویی در جنوب گسل آوج، در سنگ‌های دگرگونی درجه ضعیف ناحیه‌ای مزوژویک تزریق شده‌اند (تصویر ۲) و آثاری از آنها در سنگ‌های جوان‌تر دیده نمی‌شود. اما سرفاز (۱۳۷۴) با انتساب این توده‌ها به فعالیت‌های پلوتونیسم میوسن تزریق آنها را سنگ‌های ژوراسیک، ائوسن و الیگوسن گزارش کرده است. توده‌های کشیده گابرو، رخمنوهای کوچک و پراکنده‌ای را با روند شمال باختر- جنوب خاور (تصویر ۲) در امتداد برگوارگی دگرگونیهای میزان خود تشکیل داده‌اند و بر اثر تحمل دگر‌شکلی پلاستیک دما بالا به موزات برگوارگی سنگ‌های میزان، میلونیتی شده‌اند. حضور دگر‌شکلی میلونیتی در حاشیه توده‌های گابرویی بویژه در بخش خاوری رخمنون اصلی، احتمالاً نشانه دگر‌شکلی سنگ‌ها در حین جایگزینی توده نفوذی است. روند عمومی توده‌های نفوذی هماهنگ با امتداد کلی دگرگونیهای زون سندج- سیرجان است. در همیری گابروها با دگرگونیهای اطراف، سنگ‌های میزان توده از محل همیری تا فواصل ۱ تا ۲ متری به مقدار کم دستخوش دگرگونی همیری شده‌اند و در اثر تبلور دوباره، کم و بیش

می‌دهند و از کانیهای پلازیوکلاز و پیروکسن در یک زمینه دانه ریز تشکیل شده‌اند.

زمینه دانه ریز به طور عمده شامل بلورهای خودریخت تا نیمه خودریخت و دانه ریز پلازیوکلاز با فراوانی ۵۰ تا ۸۰ درصد است. بلورهای پلازیوکلاز، دوقلویی بلی سنتیک و گاه زون‌بندی دارند. حضور زون‌بندی در این بلورها، نشانگر سرعت زیاد تبلور در گابروها و عدم برقراری تعادل بین بخش‌های مختلف هر یک از بلورها است. در این بخش، علاوه بر بلورهای پلازیوکلاز، بلورهای دانه ریز نیمه خودریخت کلینوپیروکسن که عمدتاً از نوع اوژیت می‌باشد، مشاهده می‌شود.

درشت بلورها نیز شامل بلورهای درشت تا متوسط، خودریخت تا نیمه خودریخت پلازیوکلاز و کلینوپیروکسن هستند. در این مقاطع بلورهای درشت پیروکسن با احاطه کردن کامل و یا ناقص بلورهای دانه ریز پلازیوکلاز باعث ایجاد بافت افیتیک و ساب افیتیک شده‌اند (تصویر ۶). پلازیوکلازها و پیروکسنها در این نمونه‌ها، شبیه گابروها تا حدی دگرسان شده‌اند و دیگر کانیهای فرعی تشکیل دهنده بخش‌های انجماد سریع، مشابه با گابروها است.

۳- آنکلاوها

آنکلاوهای چند سانتی‌متری و پراکنده موجود در گابروها، عمدتاً دانه ریز و از جنس حاشیه انجماد سریع اطراف توده‌های گابرویی می‌باشد. این سنگها درای زمینه بسیار دانه ریز مشتمل از میکرولیت‌های پلازیوکلاز و کانیهای بسیار دانه ریز پیروکسن هستند. در زمینه دانه ریز، بلورهای درشت و خودریخت پلازیوکلاز حضور دارند (تصویر ۷).

بافت بیشتر آنکلاوها، پورفیری است و چنانچه در بخش‌های پیشین ذکر گردید، این سنگها ترکیب دولریتی دارند. این آنکلاوها در واقع قطعاتی از حاشیه انجماد سریع گابروها هستند که از دیواره محفظه‌ای مگمازی در آن سقوط کرده‌اند. دیواره بیرونی آنکلاواها گرد شده است که این امر حکایت از هضم شدن حاشیه این قطعات در هنگام سقوط در مagma دارد.

۴- میلونیتها

گابروهای بخش خاوری توده در اثر تحمل دگرگونی دینامیکی ناشی از عملکرد زونهای برشی متتحمل دگرشکلی شده‌اند و بافت میلونیتی نشان می‌دهند. گابروهای میلونیتی در نمونه دستی جهت یافته‌گی مشخص دارند و برگوارگی آنها کم و بیش موازی با برگوارگی دگرگونهای اطراف است. گابروها به دبال تحمل دگرگونی دینامیکی، فابریکهای نوع S-C پیدا کرده‌اند، ولی تغییر کانی‌شناسی قابل توجهی نشان نمی‌دهند. در گابروهای دگر شکل شده، به تبعیت از شدت دگرشکلی، انواع بافت‌های

شکسته شده‌اند و ترکها توسط بلورهای دگر شکل نشده آذربین، احاطه شده‌اند (بافت پروتوکلاستیک). سطح پلازیوکلازها تا حدی دگرسانی نشان می‌دهد. در بعضی موارد دگرسانی در مرکز بلورها بیش تر از حاشیه است که این امر می‌تواند نشانه کلسیک تر بودن مرکز بلورها و وجود زون بندی عادی در پلازیوکلازها باشد. کانیهای حاصل از دگرسانی پلازیوکلازها شامل سریست، کلسیت، کلریت و اپیدوت است. کلینوپیروکسنها با فراوانی ۲۰ تا ۵۰ درصد، پس از پلازیوکلازها عمدتاً ترین کانی تشکیل دهنده گابروها به شمار می‌آیند. کانیهای کلینوپیروکسن با بلورهای خودریخت تا نیمه خودریخت و خاموشی مایل، بطور عمدۀ از نوع اوژیت هستند. سطح و حاشیه پیروکسنها تا حدی دگرسانی نشان می‌دهد. کانیهای حاصل از دگرسانی پیروکسنها شامل ترمولیت- اکتینولیت (اورالیتی شدن)، کلریت، اپیدوت و بیوتیت است. کانیهای فرعی گابروها شامل کانیهای آپاتیت، اسفن، مگنتیت، کمی ایلمنیت و هماتیت هستند. بافت‌های غالب موجود در مقاطع، بافت‌های اینترگرانولار، افیتیک و زیر افیتیک هستند که دلالت بر کم عمق بودن توده‌های نفوذی و حجم کم مagma‌سازنده گابروها دارند.

بافت‌های افیتیک (قرارگیری تیغه‌های پلازیوکلاز در پیروکسنها) در سنگهای آذربین، می‌تواند نشانگر تقدم تبلور تیغه‌های پلازیوکلاز نسبت به پیروکسنها باشد. هر چند گاهی این تفسیر درست است، اما ممکن است بافت افیتیک در حین تبلور همزمان دو کانی و صرفاً بر اثر اختلاف در سرعت هسته‌بندی و رشد دو کانی ایجاد شود (Mcbirney & Noyes, 1979) به این صورت که اگر سرعت رشد پیروکسنها سریع‌تر از رشد پلازیوکلازها و در عوض سرعت هسته‌بندی پلازیوکلازها بیش از پیروکسنها باشد، بلورهای درشت پیروکسن تیغه‌های پلازیوکلاز را احاطه خواهند کرد. یک دلیل برای تأیید این تفسیر، افزایش اندازه فلدسپارها از مرکز بافت به سمت بیرون است (Shelly, 1993). بخش‌های مختلف توده‌های گابرویی از لحظه ویژگهای بافتی، کانی‌شناختی و سنگ‌شناختی تنوع چندانی ندارند و تنها تفاوت بافتی مربوط به حضور بخش‌های حاشیه انجماد سریع در اطراف گابروهاست.

۲- گابروهای حاشیه انجماد سریع

حاشیه انجماد سریع با ضخامت چندین متر در محل همیری گابروها با سنگ میزبان دیده می‌شود. حضور بخش انجماد سریع، نشانه عمق کم جایگزینی توده‌ها و نیز سرد شدن سریع گابروها در همیری با سنگهای درونگیر است. بخش‌های حاشیه انجماد سریع، از گابروها به سمت سنگهای میزبان بافت‌های پورفیری (تصویر ۴) و اینترگرانولار (تصویر ۵) نشان

و کاهش تبلور آن با تحول ترکیب ماگما هماهنگ است. دامنه تغییرات آهن کل (FeO^*) بین ۹ تا ۱۳ درصد وزنی است که با افزایش SiO_2 روند صعودی نشان می‌دهد، این روند با تبلور اولیه کلینوپیروکسنها منطبق است.

محدوده تغییرات TiO_2 که بین ۱ تا ۵ درصد وزنی متغیر است، با افزایش SiO_2 روندی صعودی نشان می‌دهد. عنصر Ti دارای شاعع یونی مشابه Fe بوده و می‌تواند در کانیهای مافیک جانشین این عنصر شود، Ti به دلیل جانشینی به جای Fe روندی مشابه آن نشان می‌دهد.

CaO با دامنه تغییر بین ۷ تا ۱۱ درصد وزنی با افزایش SiO_2 ، کاهش MgO می‌باید که این روند منطبق بر تبلور پلازیوکلاز و پیروکسنها کلسیک از ماگما و ورود این عنصر به شبکه تبلور پلازیوکلاز است.

Na_2O و K_2O به ترتیب دارای دامنه تغییر بین ۱/۰ تا ۱/۵ و ۰/۵ تا ۴/۵ هستند که با افزایش SiO_2 روند صعودی یا نزولی مشخصی نشان نداده و حالتی پراکنده دارند، این مسئله می‌تواند ناشی از فرایند ثانویه دگرسانی باشد.

دامنه تغییر P_2O_5 سنتگهای گابرویی بین ۰/۱ تا ۳/۵ بوده و با افزایش SiO_2 روند افزایشی نشان می‌دهد که این مسئله می‌تواند ناشی از ناسازگار بودن فسفر در مراحل اولیه تفریق ماگمای بازی و تبلور آپاتیت در مراحل تاخیری تر تفرقی بلورین باشد.

با توجه به روندهای مشاهده شده در نمودارهای اکسید-اکسید و تغییرات تدریجی ترکیب شیمیایی در نمونه‌های مورد بررسی می‌توان به وجود خویشاوندی و انجام تفرقی بلورین در ماگمای تشکیل دهنده تودهای گابرویی باختر آوج پی برد.

برای بررسی نقش ذوب بخشی یا تفرقی بلورین در تشکیل سنتگهای گابرویی، از الگوی پراکنده‌گی عناصر خاکی کمیاب (REE) بر روی نمودارهای عنکبوتی استفاده شده است. هنگامی که ذوب بخشی صورت می‌گیرد، حجم‌های کوچک مذاب تولید شده بطور پیوسته از مواد فرار و عناصر سبک و ناسازگار غنی می‌شود. با بررسی الگوی عناصر کمیاب خاکی مربوط به درصدهای مختلف ذوب بخشی و درجات متفاوت تفرقی بلورین که نسبت به کندریت بهنجار شده‌اند (Nelson, 2004) ملاحظه می‌شود که در مراحل اولیه ذوب بخشی عناصر کمیاب سبک با فراوانی بالا وارد مذاب می‌شوند، در حالی که عناصر سنگین‌تر فراوانی کمتری نشان می‌دهند (تصویر ۱۲)، به گونه‌ای که میزان عناصر Yb و Lu با درصدهای مختلف ذوب بخشی تقریباً ثابت می‌ماند، اما در تفرقی بلوری، با افزوده شدن بر میزان تفرقی بلوری، فراوانی همه عناصر کمیاب به طور مشابه افزایش می‌باید و الگوی فراوانی عناصر خاکی کمیاب در نمونه‌های مرتبط با فرایند تفرقی، کم و بیش موازی می‌ماند. در مقایسه، بین الگوی

پروتوپیلوبیتی و میلونیتی (Passhier, 1996) دارای پورفیروکلاستهای پلازیوکلاز توسعه یافته است (تصاویر ۸ و ۹).

در زمینه میلونیتها به علت چرخش سیالهای گرمابی، رگچه‌هایی از جنس اکسید آهن دیده می‌شود که برگوارگی را قطع نکرده‌اند و این مسئله می‌تواند نشانگر نفوذ سیالهای در امتداد برگوارگی گابروها باشد. عدم ایجاد تبلور دوباره در اطراف بلورهای پلازیوکلاز نشان می‌دهد که دمای دگرشکلی، کمتر از ۵۵۰ تا ۴۵۰ درجه سانتی‌گراد بوده است (Fitz Gerald & Stunitz, 1993). بنا بر این، بر اساس شواهد ذکر شده می‌توان نتیجه گرفت که دگرشکلی گابروهای میلونیتی در شرایط شکل‌پذیر صورت گرفته است.

۴- ژئوشیمی و محیط زمین ساختی سنتگهای گابرویی

در این بخش با استناد به نتایج تجزیه عناصر اصلی و جزئی موجود در ۱۴ نمونه از گابروها و سنگهای آتشفسانی که به روش ICP در آزمایشگاه XRF Als-chemex کانادا و آزمایشگاه Sazman زمین‌شناسی کشور تجزیه شده‌اند (جدول ۱)، به بررسی ویژگیهای ژئوشیمیایی سنتگهای آذرین منطقه می‌پردازیم. در ابتدا به منظور رده‌بندی و نام‌گذاری ژئوشیمیایی نمونه‌های مورد مطالعه، ترکیب آنها بر روی نمودار SiO_2 برابر مجموع قلاییها (Cox et al., 1979) پایه شده است (تصویر ۱۰).
 چنانچه در تصویر ۱۰ ملاحظه می‌شود، همه نمونه‌های نفوذی با SiO_2 بین ۴۵-۵۰ درصد در قلمرو گابروها قرار می‌گیرند و این نتیجه با نتایج حاصل از مطالعات سنگ نگاری مطابقت دارد. هم چنین در این نمودار، مطابق خط جدا کننده قلمروی قلایی و نیمه قلایی که توسط Wilson (1989) تکمیل شده است، تقریباً همه نمونه‌ها در محدوده قلایی قرار می‌گیرند و مقدار $\text{Na}_2\text{O} + \text{K}_2\text{O}$ بالای را نشان می‌دهند.
 فراوانی عناصر اصلی نمونه‌های گابرویی در تصویر ۱۱ بر روی نمودارهای تغییرات اکسید-اکسید در برابر تغییرات SiO_2 رسم شده است. چنانچه در این تصویر دیده می‌شود، میزان Al_2O_3 در نمونه‌های گابرویی باختر آوج به طور تقریبی بین ۱۴ تا ۱۷ درصد وزنی متغیر است و با افزایش SiO_2 مقدار Al_2O_3 نمونه‌ها، کمی افزایش می‌باید. دلیل این روند تبلور و تفرقی محدود کانیهای مافیک مانند پیروکسن در مراحل اولیه تفرقی ماگمایی می‌باشد که باعث افزایش Al_2O_3 به همراه افزایش SiO_2 در ماگمای باقیمانده می‌شود. افزایش Al_2O_3 مگما منجر به تبلور و تفرقی پلازیوکلازها می‌شود.

میزان MgO در نمونه‌ها بین ۴ تا ۹ درصد وزنی متغیر است و فراوانی آنها با افزایش SiO_2 کاهش می‌باید. این روند نیز با تبلور کانی پیروکسن به عنوان مهم‌ترین کانی مصرف کننده MgO در مراحل اولیه تبلور گابروها

در نمودار عنکبوتی تصویر ۱۴ الگوی تغییرات فراوانی عناصر جزئی مربوط به تودهای نفوذی باختر آوج با الگوی عناصر جزئی مربوط به سنگهای آشفشانی سنوزویک مربوط به کافت ناحیه Rohn در مرکز آلمان (Jung & Hoernes, 2000) مقایسه شده است.

همان‌گونه که در این تصویر ملاحظه می‌شود الگوی تغییرات فراوانی عناصر جزئی سنگهای منطقه، شباhtهای فراوانی را با منطقه ذکر شده در آلمان نشان می‌دهد که این شباهتها شامل غنی شدگی Ba، Zr-La-Nb و تاحدی Ti است.

این مدل به نظر (Jung & Hoernes, 2000) شباهت بسیاری با باالتها جزایر اقیانوسی (OIB) و سنگهای ولکانیک قیلایی در موقعیت‌های قاره‌ای نشان می‌دهد. شباهتهای موجود در الگوی نمودارهای عنکبوتی سنگهای دو منطقه، می‌تواند بیانگر محیط زمین ساختی تقریباً مشابه حاکم بر تشکیل آنها باشد. نکته دیگری که می‌تواند تأیید کننده تشکیل سنگهای منطقه در یک موقعیت کششی باشد، فراوانی میزان TiO_2 در سنگهای گابرویی است که میانگینی در حدود ۲۴ درصد وزنی نشان می‌دهند. TiO_2 بیشتر از ۲ درصد یکی از ویژگی‌های سامانه‌های کافت قاره‌ای به شمار می‌آید.

برای ارزیابی دقیق‌تر محیط زمین ساختی تشکیل گابروهای آوج، مقایسه‌ای دیگر بین الگوی پراکندگی عناصر جزئی این سنگها با طرحهای باالتها قیلایی (CVZ) (Central volcanic zone) منطقه فرورانشی آند که در خاور CVZ در یک رژیم زمین ساختی کششی فوران کرده‌اند صورت گرفته است (تصویر ۱۵). بر اساس این تصویر، سنگهای مورد مطالعه از لحاظ فراوانی عناصر ناسازگار Y و Yb و همچنین از لحاظ نبود بی‌هنگاری منفی Nb با سنگهای مورد مقایسه شیبه بوده و این شباهتها، نظریه تشکیل سنگهای گابرویی را در موقعیت کششی تأیید می‌کنند.

چنانچه اشاره شد، پژوهشگران پیشین بر اساس مطالعات صحرایی تزریق توده‌های نفوذی آوج را به مagma تیسم ترشیری نسبت داده‌اند (Bolourchi, 1979 و سرفراز, ۱۳۷۴). بهمین دلیل، ضروری است ضمن مرور علل وقوع magma تیسم ترشیری ایران، به مقایسه ویژگی‌های گابروها با اختصاصات بارز magma تیسم ترشیری در ایران پردازیم. در خصوص magma تیسم ترشیری در ایران، تاکنون مدل‌های مختلفی از سوی محققان ارائه شده است. عده‌ای از محققان (به عنوان مثال; Nowroozi, 1971; Takin, 1972; Karig, 1971; Moine-Vaziri, 1985; Jung and et al., 1975 (۱۳۸۳)، معین‌وزیری،

فرابانی عناصر خاکی کمیاب نمونه‌های مورد مطالعه با نمودارهای پایه‌ای که (Nelson 2004) ارائه کرده است، می‌توان مشاهده نمود که الگوی فراوانی عناصر در سنگهای گابرویی منطقه باختر آوج، شباهت بسیاری به الگوی مربوط به تفریق بلورین نشان می‌دهند. عامل ژئوشیمیایی دیگر مورد مطالعه، درجه اشباع شدگی از آلومینیم است. درجه اشباع مذاب از Al، به خصوص در تعیین منشاء magma ای سنگهای آذرین درونی، به عنوان یک عامل مهم پذیرفته شده و از اهمیت ویژه‌ای برخوردار است. به عقیده چاپل و وایت (Chappel & white, 1974) درجه اشباع از آلومینیم در سنگهای نشانه ماهیت موادی است که از آن منشاء گرفته‌اند. اساس تعیین این عامل، مقدار ملکولی Al_2O_3 , Na_2O , K_2O و CaO است. برای تعیین این عامل، از نمودار تغییرات نسبت ملکولی Al_2O_3/Na_2O+K_2O (Maniar & Piccol, 1989) $Al_2O_3/(CaO+Na_2O+K_2O)$ که برابر محدوده اصلی پر آلومین و متا آلومین را از هم مجزا کرده است، استفاده شده است. براساس تصویر ۱۳ کلیه نمونه‌ها در وضعیت متا آلومین قرار دارند.

وضعیت متاآلومین سنگهای آذرین نشانه منشاء گرفتن سنگهای نفوذی از گوشته است (Middlemost, 1985). هم چنین قرار گیری تمام نمونه‌ها در وضعیت متاآلومین مسئله آلدگی magma مانع سنگهای نفوذی گابرویی با پوسته قاره‌ای می‌باشد. این می‌تواند با تقریباً منتفی می‌سازد.

برای تشخیص محیط زمین ساختی magma تشکیل گابروها به بررسی فراوانی عناصر جزئی نمونه‌های مورد مطالعه بر روی نمودارهای عنکبوتی بهنجار شده با کندریت و گوشته اولیه می‌پردازیم. در این نمودارها وجود یا نبود بی‌هنگاری‌های مثبت و یا منفی عناصر ناسازگار راهنمایی برای تشخیص محیط زمین ساختی سنگهای آذرین است. سنگهای مناطق مختلف زمین ساختی از لحاظ فراوانی عناصر جزئی دارای الگوهای خاص هستند، مثلاً نمودارهای مربوط به بازشدگی مثل مورب (Smooth trend) یکنواخت (Smooth trend) یعنی بدون برجستگی و فورفتگی و نمودارهای عنکبوتی مربوط به سنگهای آذرین مناطق فرورانش دارای برجستگی و فورفتگی (Spikey trend) می‌باشد (Wilson, 1989 ; Kampunzu et al., 2003). در مناطق فرورانش، مشخص ترین ویژگی ژئوشیمیایی سنگها، مربوط به تهی شدگی یا بی‌هنگاری منفی Ta, Hf, Nb و Ti است، که می‌تواند با نقش آب در تشکیل magma و باقی ماندن این عناصر در سنگ منشاء آنها در ارتباط باشد. اما، وجه مشخصه مناطق کافتی یا کششی، غنی شدگی یا بی‌هنگاری مثبت (Ballever et al., 2001 و Esawi, 2004) است.

(Macdonald et al., 2000) را نشان می‌دهند. این در حالی است که گاپروها از لحاظ ژئوشیمیایی، مشخصات مناطق کششی را دارند. بنابراین می‌توان اذعان کرد که الگوی فراوانی عناصر جزئی سنگهای آتشفسانی ترشیری، نظریه فرورانش نئوتیس به زیر ایران مرکزی را تأیید می‌کند و آشکارا دلالت بر تفاوت ژئوکی گاپروها با بازالتها دارد.

علاوه بر این، مشاهدات صحرایی نشان می‌دهد که توده‌های گاپرویی مورد بررسی به صورت توده‌های کشیده با روندی موازی با امتداد برگوارگی دگرگونیهای میزان، صرفاً در دگرگونیها تزریق شده‌اند، سنگهای گاپرویی در بخش‌های حاشیه‌ای توده‌های گاپرویی، میلونیتی شده‌اند و برگوارگی این میلونیتها نیز کم و پیش به موازات روند برگوارگی دگرگونیها یعنی NW-SE قرار دارد. لذا با شواهد موجود می‌توان این احتمال را نیز در نظر گرفت که ممکن است توده‌های گاپرویی مورد بررسی، قدیمی‌تر از سنگهای آتشفسانی باخترا آوج باشد و این گاپروها هم‌زمان با فاز دگرگونی ناحیه‌ای درجه ضعیف مزوزویک در سنگهای دگرگونی میزان تزریق شده باشند. به هر حال، رد یا اثبات این فرضیه نیاز به داده‌های سن سنجی ایزوتوپی دارد. با این وجود، در صورت پذیرش انتساب این توده‌ها به ماقمایسم ترشیری و پذیرش هم‌زمانی نفوذ آنها با تشکیل دیگر سنگهای آتشفسانی و نفوذی منطقه، باید گفت که گاپروهای مورد مطالعه، احتمالاً در مناطق کششی موضعی ناشی از حرکات گسلی در بالای یک محیط فشاری فرورانشی به وجود آمدند.

۵- خاستگاه گاپروها

از دیگر ویژگیهای ژئوشیمیایی که در این مطالعه به آنها توجه شده، ناحیه منشاء ماقمایهای مورد بحث می‌باشد. در این خصوص می‌توان به موارد زیر اشاره کرد:

الف) به طور کلی ماقمایهای اولیه‌ای که در تعادل با کانی‌شناسی شاخص گوشته بالایی او (اولیوین + ارتوپروکسن + گارنت + اسپینل) قرار دارند، باید دارای مقادیر $Mg\# = MgO/(MgO+FeO)$ یا عدد میزیم ($Mg\# = 0.7/0.7$)، Ni بالا ($>1400-500 ppm$)، Cr ، $>1000 ppm$ و مقدار SiO_2 کمتر از ۵٪ باشند. با این حال، اگر ماقمای بازی به جای مشتق شدن از یک گوشته عادی از مناطق منشاء متاسوماتیزه مشتق شده باشند، این معیارها دیگر کاربرد نخواهند داشت (Wilson, 1989). هم چنین به تناسب افزایش تحولات ماقمایی از میزان عدد Mg آنها کاسته می‌شود. ماقمای سازنده نمونه‌های تجزیه شده، که از بخش‌های مختلف توده‌های گاپرویی برداشت شده‌اند، با داشتن مقدار عدد Mg بین ۰/۴ تا ۰/۶۵، میزان میانگین کروم $177 ppm$ و مقدار میانگین نیکل $59 ppm$ جزو ماقمایهای اولیه در تعادل با گوشته بالایی قرار نمی‌گیرند و لذا یا پس

Lescuyer and et al., (1974)، Sabzehei, (1975) و Amidi, (1979) ۱۹۷۹ ترشیری (به خصوص اثوسن) به علت وجود تیغه‌های گرمابی در زیر بلوك ایران انجام گرفته و پدیده‌های شبیه به آنچه که اکنون در خاور آفریقا جریان دارد عامل شکل گیری سنگهای آذرین این بخش از کشور بوده است. به عبارت دیگر، براساس نظریه این محققان، در ترشیری، یک مجموعه کافت درون قاره‌ای در حال تشکیل بوده اما به علت فازهای فشارشی پیرزن و استیرین، پیش از تشکیل آقیانوس، بسته شده است (نقل از معین وزیری، ۱۳۷۵).

بنا به نظر بلورچی (1979)، پس از آتشفسانی اثوسن، در الیکومیوسن نیز فعالیت آتشفسانی در منطقه آوج صورت گرفته است لذا سنگهای آتشفسانی مورد مقایسه متعلق به فاز آتشفسانی الیکومیوسن هستند. وی بر این باور است که نفوذ توده‌های کوچک نیمه آتشفسانی با ترکیب گاپرویی، در میان اسلیتهای تربیاس بالایی و در بعضی موارد سازند قم، می‌تواند میین فعالیتهای آذرین درونی در زمان الیکومیوسن باشد که تزریق آنها توسط شکستگیها و یا دیگر ساختارهای زمین‌شناسی (مانند برگوارگی یا شکستگیهای مناطق خمیده چینها) کنترل شده است. هم‌چنین به نظر سرفراز (۱۳۷۴)، توده‌های نفوذی آوج، سنگهای آتشفسانی و رسوبی الیکومیوسن را قطع کرده‌اند و بنابراین به پلوتونیسم میوسن تعلق دارند.

لازم به ذکر است که گاپروهای باخترا آوج، صرفنظر از آن که واقعاً در چه زمانی در دگرگونیهای مزوزویک منطقه تزریق شده باشند، از لحاظ ژئوشیمیایی با سنگهای آتشفسانی ترشیری آوج تفاوت‌های قابل توجهی را نشان می‌دهند. چنانچه در تصویر ۱۴ دیده می‌شود، نتایج تجزیه شیمیایی دو نمونه از سنگهای آتشفسانی باخترا آوج که شامل آندزیت بازالتی و تراکیت است برای مقایسه با گاپروها به نمایش در آمده است. این سنگها که از نظر سنی متعلق به آتشفسانی ترشیری منطقه (یک نمونه متعلق به ماقمایسم اثوسن و دیگری با توجه به موقعیت چینه‌شناسی آن که بر روی آهکهای سازند قم قرار دارد، متعلق به ماقمایسم میوسن) می‌باشند، به رغم فاصله مکانی کمی که با رخمنوئهای گاپرویی مورد مطالعه دارند، در مقایسه با گاپروها از لحاظ فراوانی عناصر ناسازگار با شدت میدان بالا (HFS) به مراتب فقیرتر از گاپروها و از نظر فراوانی عناصر با شدت میدان پایین (LFS) به طور چشمگیر غنی‌تر از گاپروها هستند. بنابراین، سنگهای آتشفسانی آوج از نظر فراوانی عناصر جزئی و الگوی پراکندگی این عناصر بر روی نمودارهای عنکبوتی، با گاپروها تفاوت داشته و با توجه به ویژگیهای ژئوشیمیایی، به خصوص داشتن بی‌هنجراری منفی Nb ، Ti ، P ویژگیهای ساخته سنگهای آتشفسانی مناطق فرورانش

بر گوارگی گابروهای میلوبنیتی، تقریباً موازی با روند بر گوارگی اسلیتهای میزبان تودهها است.

۴- بر اساس نمودارهای ژئوشیمیایی مورد استفاده، ترکیب سنگ‌شناسی همه نمونه‌ها در محدوده گابروهای قلیایی قرار می‌گیرند و از بررسی نمودارهای اکسید-اکسید هارکر، در کنار بررسی رفتار عنصر کمیاب می‌توان به وجود رابطه تفاضلی بین نمونه‌های مختلف پی برد. نمونه‌های مورد نظر از لحاظ درجه اشباع بودن از آلومین، همگی در محدوده متال‌آلومین قرار می‌گیرند که این مسئله به همراه عدم وجود دیگر نشانه‌های آlundگی (وجود آنکلاو با منشاء خارجی، اجتماع بلورهای نامتعادل، وجود بافت‌های نامتعادل در بلورهای بافت غربالی، وجود کانیهای دگرگونی در سنگ‌های آذرین...) احتمالاً میین عدم وجود آlundگی در توده‌های نفوذی باختر آوج بوده است.

۵- با استفاده از مقایسه نمودارهای عنکبوتی حاصل از سنگ‌های گابرویی با نمودارهای عنکبوتی شاخص ذوب بخشی و تفاضل بلورین، این نتیجه حاصل می‌شود که از بین دو عامل تفاضل و ذوب بخشی، تحول توده‌های نفوذی باختر آوج و ماهیت ژئوشیمیایی این نمونه‌ها بیشتر مربوط به تفاضل بلورین است.

۶- بررسی نمودارهای عنکبوتی منطقه و مقایسه این نمودارها با نمودارهای مناطق شناخته شده زمین ساختی، غنی شدگی Nb , Zr , Ta , Ti و تا حدی Nb میزان میانگین TiO_2 بالای ۲ درصد نشان می‌دهد که ماجمای مولد گابروهای مورد بررسی، احتمالاً در یک رژیم زمین ساخت کششی به وجود آمده است و از این لحاظ با ماجمای سازنده سنگ‌های آتشفسانی ترشیری هم‌چوار خود که بی‌هنچاریهای منفی Nb , Ti , P نشان می‌دهند، کاملاً متفاوت هستند.

۷- ماجمای مولد توده‌های گابرویی باختر آوج با توجه به مطالعات انجام شده، احتمالاً از ذوب بخشی گوشته سنگ کره‌ای غنی شده (EM) در ژرفای حدود ۵۰-۶۰ کیلومتری منشاء گرفته است.

۸- مشابهت ویژگیهای میکروسکوپی و ژئوشیمیایی در همه نمونه‌های توده‌های مختلف نفوذی باختر آوج یانگر محیط، شرایط و منشاء تشکیل یکسان و به طور کلی وابستگی زایشی توده‌ها با یکدیگر است.

قدرتداهنی

این پژوهش حاصل طرح تحقیقاتی "پتروژنر و نحوه جایگزینی توده‌های گابرویی باختر آوج" به شماره پرونده ۱۲۵/ک/۵۰/۶۱۰۵۰ است که با حمایت مالی معاونت محترم پژوهشی دانشگاه تهران انجام شده است. لذا بدینوسیله از همکاری ارزنده آن معاونت قدردانی می‌گردد.

از منشاء گیری از گوشته عادی متحمل تحولات ماجمایی شده‌اند و یا این که ماجمایی هستند که از گوشته متابوساتیزه مشتق شده‌اند. این نکته با بررسی نمودار تغییرات La/Nb در برابر Zr/Nb (Weaver, 1991) که برای تعیین منشاء ماجمایها به کار می‌رود، مورد تأیید قرار می‌گیرد. همان‌طور که در تصویر ۱۷ دیده می‌شود، کم بودن محتوی Nb نمونه‌ها باعث شده که تقریباً تمامی نمونه‌ها در محدوده EM یعنی گوشته غنی شده قرار گیرند.

(b) فراوانی FeO کل در سنگ‌های بازی می‌تواند دلالت بر عمق تولید مذاب سازنده آنها داشته باشد. چنانچه در تصویر ۱۸ دیده می‌شود، میزان FeO نمونه‌ها در مقادیر $0.6/\text{Mg} = 9-10$ درصد است که این مقدار بر اساس نتایج مطالعات تجربی (Hirose & Kushiro (1993) ذوب شدگی در ژرفای حدود ۵۰-۶۰ کیلومتری مطابقت دارد. لازم به ذکر است که ضخامت پوسته از ۳ کیلومتر در بعضی از نواحی اقیانوسی تا حدود ۸۰ کیلومتر در برخی نواحی قاره‌ای در تغییر است و ضخامت سنگ کره بین ۵۰ تا ۲۰۰ کیلومتر متغیر است.

(c) چنانچه در بحث پیش اشاره شد، ماجمایهای سنگ‌های گابرویی با قرار گرفتن در وضعیت متا‌آلومینوس منشاء گوشته‌ای را نشان می‌دهند (Middlemost, 1985).

با توجه به موارد ذکر شده، می‌توان نتیجه گرفت که ماجمای سازنده توده‌های نفوذی باختر آوج، احتمالاً از ذوب بخشی یک منشاء گوشته سنگ کره‌ای غنی شده (EM) در ژرفای حدود ۵۰-۶۰ کیلومتری تشکیل شده‌اند.

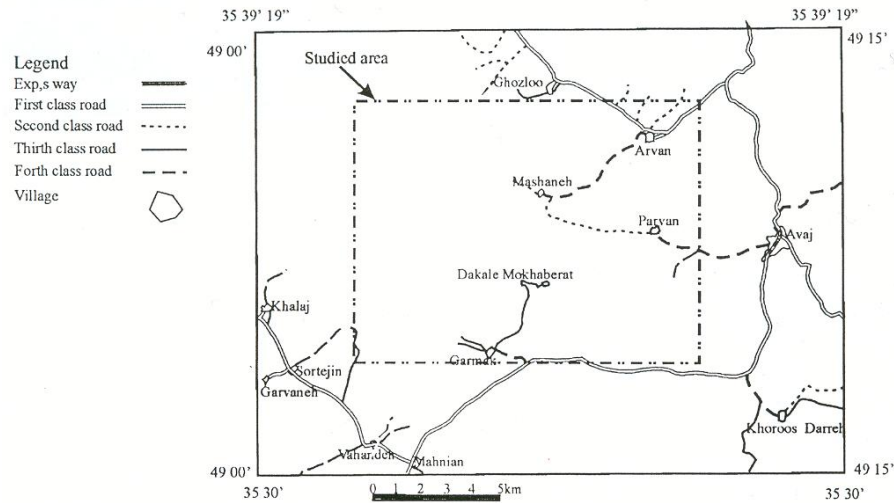
۶- نتیجه‌گیری

نتایج حاصل از مطالعه روابط صحرایی، سنگ‌نگاری و ویژگیهای ژئوشیمیایی سنگ‌های گابرویی باختر آوج، به شرح زیر است:

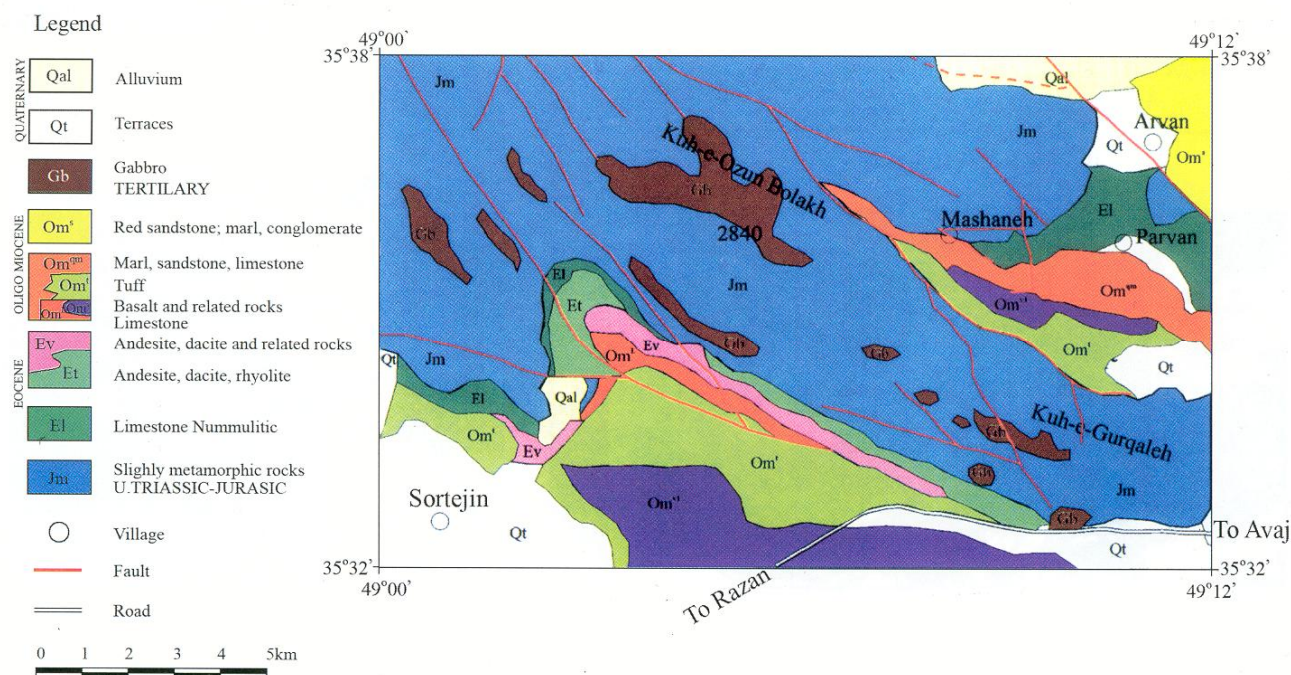
۱- بررسیهای صحرایی نشان می‌دهند که توده‌های نفوذی گابرویی در سنگ‌های دگرگونی درجه ضعیف تا خیلی ضعیف ناجهای مزوژویک با روندی مطابق روند بر گوارگی دگرگونیها، یعنی NW-SE تزریق شده‌اند.

۲- هاله دگرگونی با گسترش محدود و درجه خیلی ضعیف در حاشیه بلافلصل توده‌های نفوذی قابل مشاهده است.

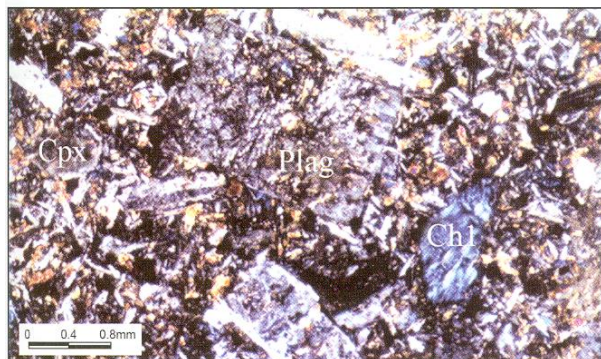
۳- تشکیل ناجه انجامد سریع در اطراف گابروها، نشانه عمق کم جایگزینی توده‌ها و سریع سرد شدن ماجما در محل تماس با سنگ‌های میزبان است که احتمالاً این مسئله خود باعث گسترش محدود هاله دگرگونی بوده است. بخش‌های حاشیه‌ای توده در اثر تحمل دگرگونی دینامیکی ناشی از عملکرد زونهای برشی میلوبنیتی شده‌اند که روند



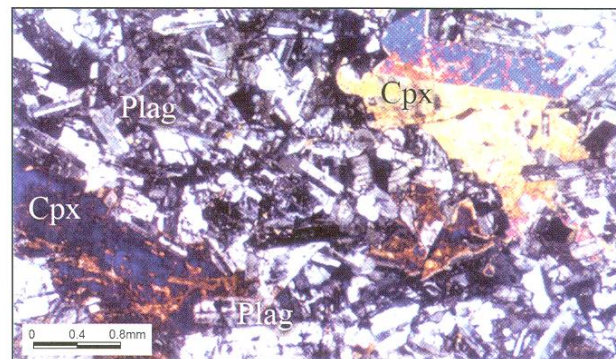
تصویر ۱ - موقعیت جغرافیایی و راههای دسترسی به منطقه مورد مطالعه.



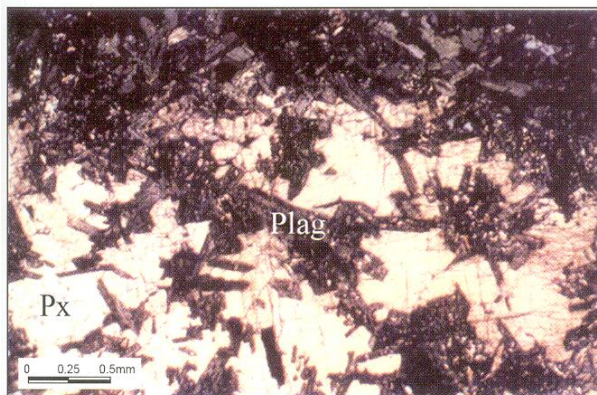
تصویر ۲ - نقشه زمین‌شناسی منطقه مورد مطالعه که بخشی از نقشه ۱:۲۵۰۰۰ چهارگوش کبودآهنگ است (Bolourchi, 1979)



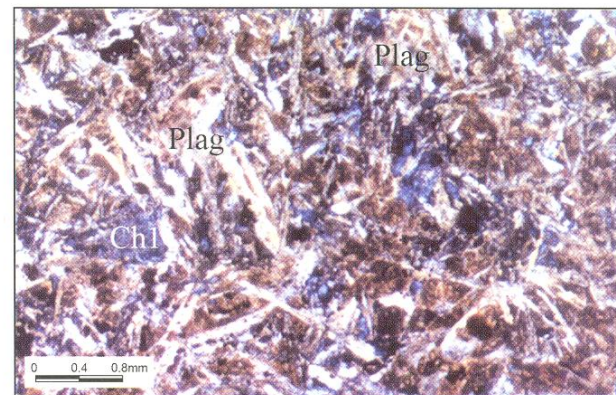
تصویر ۴- تصویر میکروسکوپی از گابروهای حاشیه انجماد سریع با بافت پورفیری (نورپلاریزه، بزرگنمایی ۲۵).



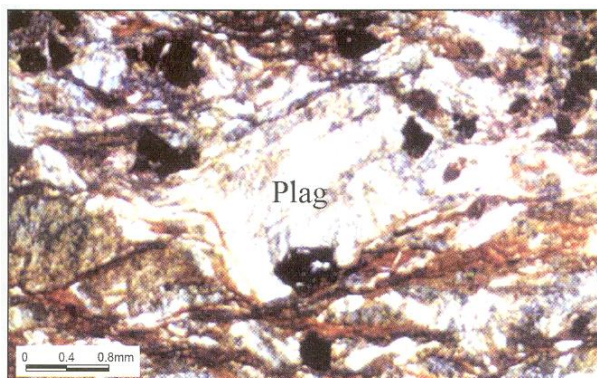
تصویر ۳- تصویر میکروسکوپی از بافت افیتیک در گابروهای باختر آوج (نورپلاریزه، بزرگنمایی ۲۵).



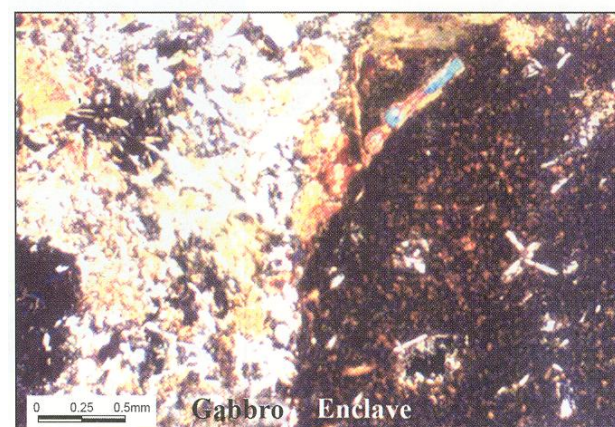
تصویر ۶- تصویر میکروسکوپی حضور تیغه‌های پلازیو کلاز در درشت بلور پیروکسن و تشکیل بافت افیتیک در گابروها (نور پلاریزه-بزرگنمایی ۴۰).



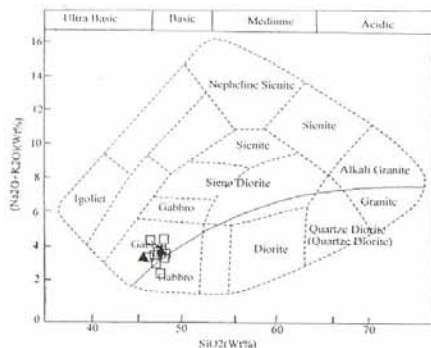
تصویر ۵- تصویر میکروسکوپی از سنگهای حاشیه انجماد سریع گابروها با بافت اینترگرانولار (نورپلاریزه، بزرگنمایی ۲۵).



تصویر ۸- تصویر میکروسکوپی گابروهای میلونیتی واقع در زونهای برشی توده‌های نفوذی باختر آوج، به تبلور دوباره دنباله‌های فلدسپار در امتداد مناطق سایه فشاری توجه شود (نورپلاریزه، بزرگنمایی ۲۵).

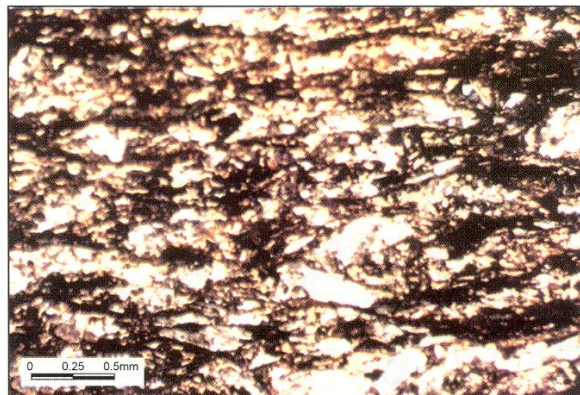


تصویر ۷- تصویر میکروسکوپی از حضور آنکلاو حاشیه انجماد سریع (سمت راست) در داخل گابروها (بخش سمت چپ)، (نورپلاریزه).

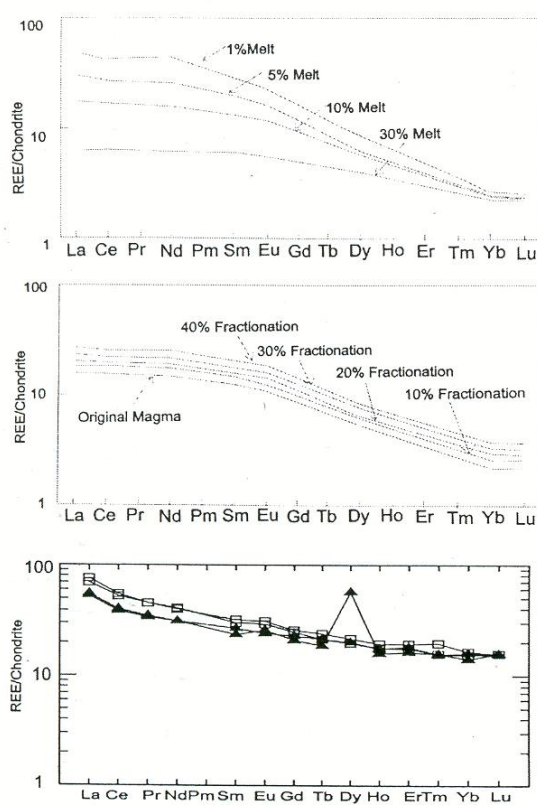


تصویر ۱۰- موقعیت نمونه‌های مورد مطالعه بر روی نمودار تغییرات مجموع

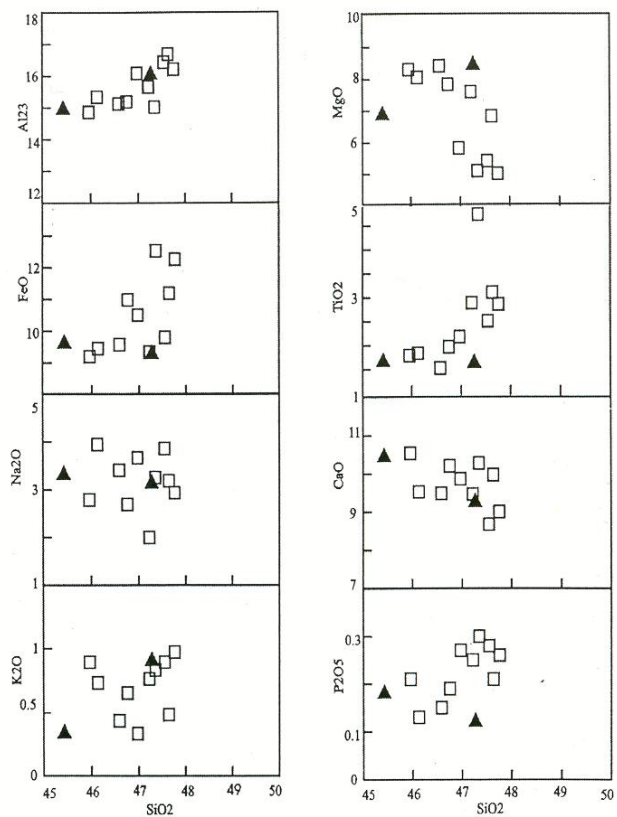
قلیابی در برابر سیلیس (Wilson, 1989 و Cox et al., 1979) مثلثهای تو پر، نمونه‌های مربوط به حاشیه انجامد سریع گابروها و مربعهای توخالی نمونه‌های مربوط به گابروها است.



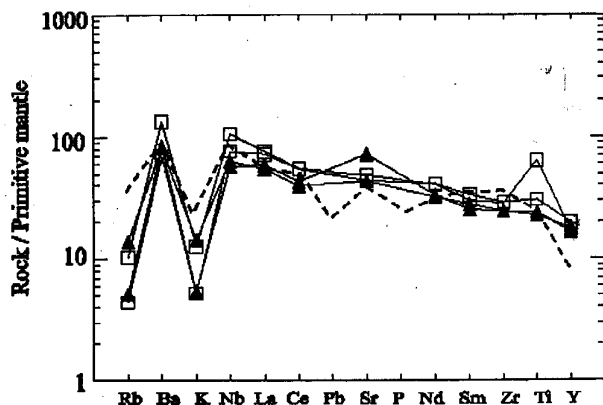
تصویر ۹- تصویر میکروسکوپی گابروهای میلونیتی دانه ریز در مناطق با دگر شکلی شدیدتر (نورپالاریزه، بزرگنمایی ۴۰).



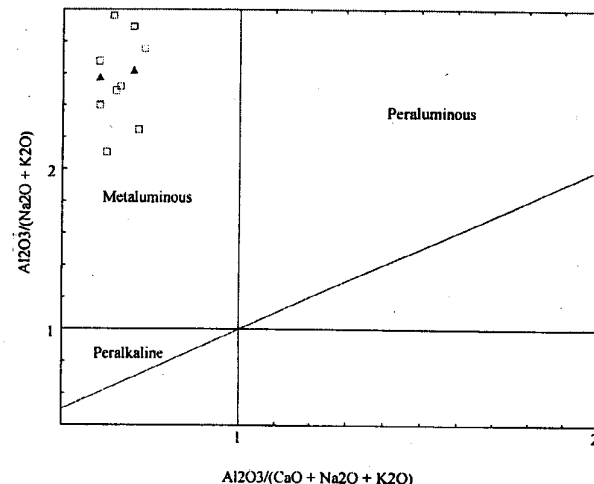
تصویر ۱۲- مقایسه الگوی حاصل از سنگ‌های گابروی غرب آوج که بر اساس عناصر نادر خاکی و نسبت به کندریت نورمالیزه شده‌اند با الگوی مربوط به درجات مختلف ذوب بخشی و درصدی‌های مختلف تفیریق بلورین (Nelson, 2004). علامت مشابه تصویر ۱۰ است.



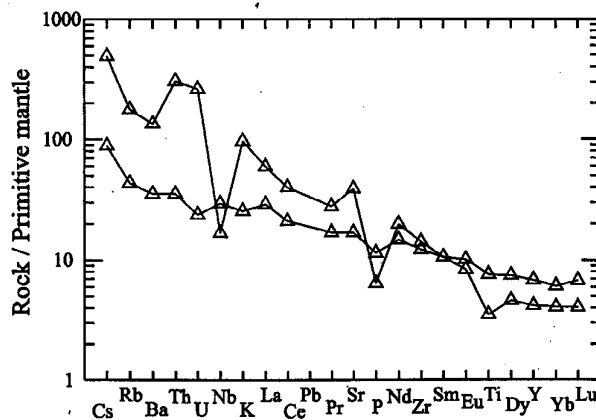
تصویر ۱۱- نمودار تغییرات درصد وزنی تعدادی از اکسیدهای اصلی در برابر درصد وزنی SiO₂. علامت مشابه تصویر ۱۰ است.



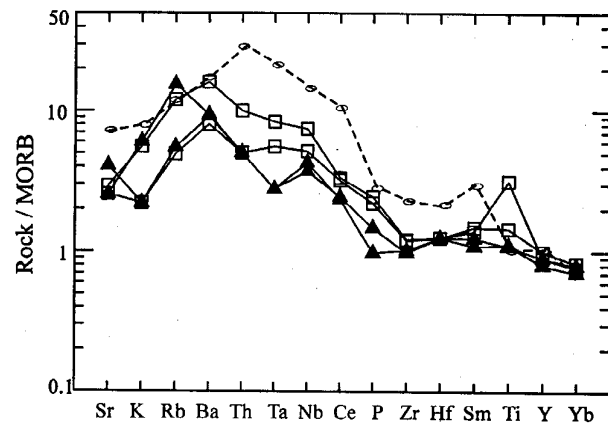
تصویر ۱۴- مقایسه الگوی تغییرات عناصر جزئی سنگهای گابرویی باختر آوج با هورنبلند بازالت‌های منطقه روهن آلمان. فراوانی عناصر نسبت به گوشته اولیه (Primitive mantle) بهنجار شده است. خطوط پیوسته مربوط به گابروهای آوج و خط چین‌ها مربوط به آلمان است. علامت مشابه تصویر ۱۰ است.



تصویر ۱۳- نمودار تعیین درجه اشباع شدگی Al نمونه‌های مورد مطالعه (Maniar & Piccoli, 1989). علامت مشابه تصویر ۱۰ است.



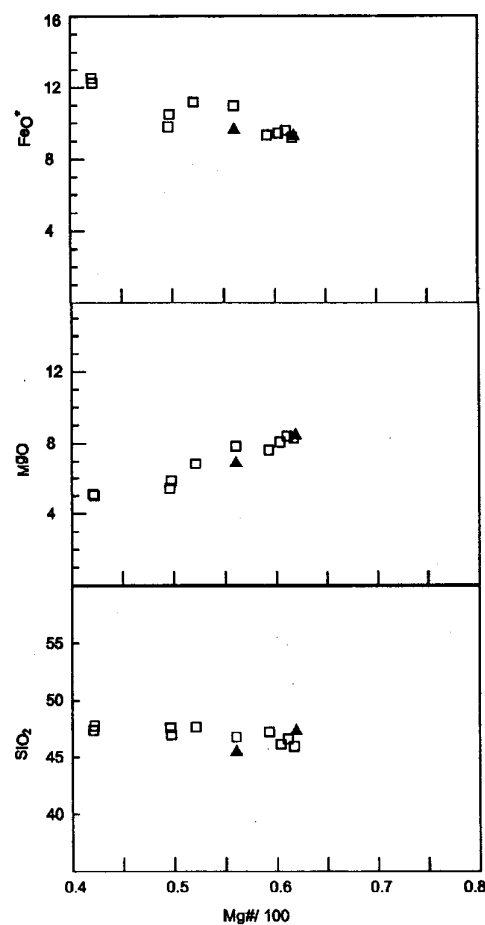
شکل ۱۶- الگوی حاصل از گدازه‌های منطقه آوج که براساس عناصر ناسازگار و نسبت به گوشته اولیه نرماییزه شده‌اند (مثلث‌های توخالی مربوط به گدازه‌ها می‌باشد).



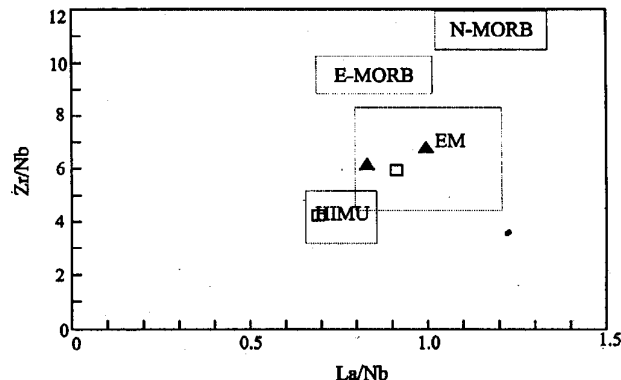
تصویر ۱۵- مقایسه الگوهای حاصل از سنگ‌های گابرویی غرب آوج که براساس عناصر ناسازگار و نسبت به MORB نرماییزه شده‌اند با الگوی ANDES حاصل از آلکالی بازالت‌های CVZ منطقه CVZ (به CVZ می‌باشد). علامت مشابه تصویر ۱۰ است.

جدول ۱- نتایج تجزیه شیمیایی نمونه های گابروها، حاشیه انجماد سریع آتشفشارانهای باختر آوج

نمونه	ولکاتیک		انجماد سریع			گابرو								
	A32V	A10V	A12	A24	A14	A23	A100	A131	A162	A121	A144	A105	A116	A127
SiO₂	48.71	58.74	47.27	45.43	47.35	46.97	45.96	46.13	46.58	46.75	47.22	47.55	47.64	47.76
TiO₂	1.65	0.76	1.63	1.66	4.74	2.18	1.79	1.84	1.53	1.97	2.89	2.51	3.11	2.86
Al₂O₃	17.91	16.79	16.03	14.94	15.02	16.09	14.86	15.34	15.13	15.19	15.65	16.43	16.68	16.21
Fe₂O₃	2.69	2.16	2.91	2.88	3.96	3.28	2.96	2.79	3.21	3.08	2.96	3.65	3.02	3.85
FeO	6.81	4.38	6.66	7.02	8.96	7.55	6.54	6.94	6.69	8.21	6.68	6.52	8.47	8.79
MnO	0.16	0.09	0.17	0.16	0.18	0.17	0.18	0.17	0.18	0.18	0.17	0.17	0.16	0.17
MgO	5.1	4.13	8.44	6.87	5.11	5.83	8.31	8.06	8.42	7.84	7.61	5.42	6.83	5.02
CaO	10.42	4.48	9.26	10.44	10.28	9.87	10.54	9.53	9.49	10.21	9.47	8.68	9.98	9.01
Na₂O	3.31	3.18	3.13	3.31	3.26	3.67	2.79	3.95	3.41	2.69	2	3.86	3.19	2.94
K₂O	0.77	2.9	0.9	0.33	0.83	0.33	0.89	0.73	0.43	0.65	0.76	0.89	0.48	0.97
P₂O₅	0.25	0.14	0.12	0.18	0.3	0.27	0.21	0.13	0.15	0.19	0.25	0.28	0.21	0.26
Total	97.78	97.75	96.52	93.22	99.99	96.21	95.03	95.61	95.22	96.96	95.66	95.96	99.77	97.84
Ba	247	940	187.5	182	320	160								
Ce	37.5	71	23.5	24.5	33.5	32								
Co	34	15	37.5	39.5	47	35.5								
Cs	0.7	3.9	1.3	2	0.6	1.5								
Cr	100	30	370	210	10	120								
Dy	5.5	3.4	5.1	14.5	5	5.5								
Er	3.4	2.1	3	2.7	2.9	3.2								
Eu	1.7	1.4	1.4	1.5	1.7	1.8								
Ga	19	20	18	17	20	20								
V	235	160	240	280	645	305								
W	2	3	3	1	2	2								
Y	31	19	27	24	27	30								
Yb	3	2	2.7	2.4	2.6	2.8								
Zn	95	120	115	90	125	105								
Zr	136.5	158.5	92	88	110	107.5								
Rb	27.6	112.5	30.8	11	24	9.8								
Sm	4.7	4.7	4.1	3.6	4.6	4.9								
Sn	2	2	2	1	1	1								
Sr	358	821	304	487	350	306								
Ta	1	0.5	0.5	0.5	1.5	1								
Tb	0.9	0.6	0.8	0.7	0.8	0.9								
Th	3	26	1	1	2	1								
Tm	0.5	0.3	0.4	0.4	0.4	0.5								
U	0.5	5.5	<0.5	<0.5	<0.5	<0.5								
Gd	5.3	4.4	4.7	4.3	5.1	5.3								
Hf	4	5	3	3	3	3								
Ho	1.1	0.7	1	0.9	1	1.1								
La	20	41	12.5	13	18	16.5								
Lu	0.5	0.3	0.4	0.4	0.4	0.4								
Nb	21	12	15	13	26	18								
Nd	20	27	14.5	14.5	19	18.5								
Ni	35	15	120	70	10	35								
Pr	4.7	7.7	3.2	3.3	4.3	4.3								



شکل ۱۸ - نمودار تغییرات FeO^* کل، MgO و SiO_2 در برابر Mg\# 100
برای سنگهای گابرویی باختر آوج. علامت مشابه شکل ۱۰ است.



شکل ۱۷ - موقعیت سنگ‌های نفوذی باختر آوج بر روی نمودار تغییرات
نسبت Zr/Nb در برابر نسبت La/Nb . علامت مشابه شکل ۱۰ است.
(E-MORB and N-MORB= Enriched and Normal Mid
Oceanic Ridge Basalts, HIMU= a source with a
high $^{238}\text{U}/^{204}\text{Pb}$, EM= Enriched Mantle)

References

- Amidi, S.M., 1975-Contribution a l'étude stratigraphique petrologique, et petrochimique de roches magmatiques de la région de Natanz-Nain-Surk (Iran central). These.Doct.Etat, Grenoble.
- Ballever, M., Le Goff, E. and Hebert, R., 2001-The tectonothermal evolution of the Caledonian belt of northern Brittany, France: a Neoproterozoic volcanic arc. Tectonophysics, 331, 19-43.

کتابخانه

- سرفراز، ف.ف.، ۱۳۷۴ - پتروگرافی و ژئوشیمی سنگ‌های آذرین منطقه آوج (قزوین)، پایان نامه کارشناسی ارشد، دانشگاه تربیت معلم.
- معین وزیری، ح.، ۱۳۷۵ - دیاچهای بر ماغماتیسم ایران، انتشارات دانشگاه تربیت معلم، ۴۴۰ صفحه.
- معین وزیری، ح.، ۱۳۸۳ - چند نقطه عطف در تاریخچه تکتونوماگماتیزم ایران. فصلنامه علوم زمین، سال یازدهم، شماره ۵۰-۴۹

- Bolourchi, M.H., 1979-KabudarAhang Geological Map 1:250000, Geological survey of Iran .
Chappel, B.W. and white, A.J.R., 1974 - Two contrasting granite types. Pac. Geol. 8,173.174.
Cox, K.G., Bell, J.D. and Pankhurst, R.J., 1979- The Interpretation of Igneous Rocks. Allen and Unwin, London. 450p.
Emami, M.H. 1981- Geologie de la region de Qom-Aran (Iran): Contribution a l'etude dynamique et geochemique du Volcanisme tertiaire de l'Iran central. These d'Etat. Univer. Grenoble. France.
Esawi, E.K., 2004 - Evidence from the Farmington pluton for Early Devonian subduction-related magmatism in the Carolina zone of central North Carolina. Journal of Geodynamics 37, 531–548
Fites Gerald, J.D. and Stunitz, H., 1993- Deformation of granitoids at low metamorphic grade I: Reactions and grain size reduction. Tectonophysics, 221: 269-297 p.
Hirose, K. and Kushiro, I., 1993 - Partial melting of dry peridotites at high pressure: determination of compositions of melts segregated from peridotite using aggregates of diamond Earth planet Sci lett. 114, 477-489.
Jung, S. and Hoernes, S.. 2000 - The major and trace element and isotope (Sr, Nd, O) geochemistry of Cenozoic alkaline rift-type volcanic rocks from the Rohn area (central Germany): petrology, mantle source characteristics and implication for asthenosphere interactions. Journal of volcanology and Geochemical Research, 27-53.
Jung, D., Kursten, M. and Tarkian, M., 1975 - Post Mesozoic Volcanism in Iran and its relation to the subduction of the Afro-Arabian under the Eurasian plate. In Pilger, A. and Rosler, A. (edts)"Afar between continental and oceanic Rifting "I.G.C.Scient.Report, 116(2), 175-181.
Kampunzu, A.B., Tombale, A.R. Zhai, M., Bagai, Z., Majaula, T. and Modisi, M.P., 2003- Major and trace element geochemistry of plutonic rocks from Francistown, NE Botswana: evidence for a Neoarchaean continental active margin in the Zimbabwe craton. Lithos, 71, 431-460
Karig, D.E., 1971- Origin and development of marginal basins in the Western Pacific. Journ. Geophys. Res., 76, 2542-2561.
Lescuyer, J.L. and Riou, R., 1979- Geologie de la region di Mineh (Azerbaijan), Contribution a l'etude du Volcanisme tertiaire l'Iran. These de 3e me cycle. Grenoble. 233.
Maniar, P.D. and Piccoli, P.M., 1989- Tectonic discrimination of granitoides. Geol. Soc. Am. Bull. 101, 635-643.
Mcbirney, A.R. and Noyes, R.M., 1979- Crystallization and layering of the Skaergaard Intrusion. J. Pet., 20, 487-554.
Middlemost, E.A.K., 1985- Magmas and magmatic rocks. Longman, p 266.
Middlemost, E.A.K., 1991- Towards a comprehensive classification of Igneous rocks and magmas. Earth Sci. Rev, 31, 73-87.
Macdonald, R., Hawkesworth, C.J. and Heath, E., 2000- The Lesser Antilles Volcanic chain : a study in arc magmatism . Earth Science Reviews, 49, 1-76.
Moine-Vaziri, H., 1985- Volcanisme tertiaire et quaternaire en Iran. These d'Etat. Univer. Paris-Sud, ORSAY.
Nowroozi, A.A., 1971- Seismotectonics of the Persian plateau, Eastern Turkey, Caucasus and Hindu-Kush regions. Bull of the Seismological society of America, 61, 317-341.
Nelson, S.A., 2004 - Magmatic Differentiation .Chemical variation in rock suites, EENS 212. Tulan University 15p.
Passhier, C.W. and Trouw, R.A.J., 1996 - Microtectonics, Springer, 286p.
Rollinson, H.R., 1993- Using geochemical data: evolution, presentation, interpretation. Jhon Wiley and sons, 325p.
Sabzehei, M., 1974 - Les mélanges ophiolitiques de la region d'Esfandagheh (Iran meridional). Etude petrographique et structurale. These Doct. Etat, Univ. Grenoble, 306p.
Shelly, D., 1993 - Igneous and metamorphic rocks under the microscope, Champan and Hall, 630p.
Takin, M., 1972 - Iranian geology and continental drift in the Middle East. Nature, 235, 147-150.
Wilson, M., 1989 - Igneous petrogenesis: a global tectonic approach. Unwin Hyman, London, 466P.
Weaver B.L. ,1991- Trace element evidence for the origin of ocean island basalts .Geology 19, 123-126.

* گروه زمین شناسی، دانشکده علوم، دانشگاه تهران

** گروه زمین شناسی، دانشکده علوم، دانشگاه بین المللی امام خمینی قزوین

*Department of Geology, Faculty of Science, University of Tehran, Iran

**Department of Geology, Faculty of Science, Imam Khomeini international University, Qazvin, Iran